# Probabilidades de Fixação no Processo de Moran com três estratégias

Eliza M. Ferreira<sup>1</sup>, Armando G. M. Neves<sup>2</sup>

## Introdução - O Processo de Moran

Consideremos uma população fixa com N indivíduos divididos em três tipos, digamos A, B e C. O estado  $X_n = (i, j)$  da população no instante de tempo discreto n é dado pelo número de indivíduos i de tipo A e j de tipo B. Naturalmente, o número de indivíduos de tipo C é N-i-j. O estado é representado por um ponto em uma malha triangular sobre um triângulo equilátero, ver Figura 6.8.

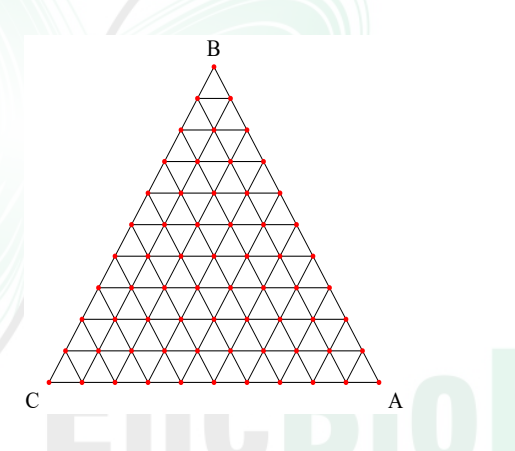


Figure 6.8: Temos aqui uma rede triangular para N=10. Os estados da população são dados pelos pontos vermelhos.

A dinâmica populacional é modelada por dois sorteios independentes a cada unidade de tempo, um sorteio uniforme de um indivíduo para morrer e um sorteio para reprodução que dependerá da aptidão de cada indivíduo. Supomos ainda, em geral, que a aptidão dos três tipos depende de suas frequências na população.

Este processo estocástico é uma cadeia de Markov com espaço de estados finito, sendo (0,0),(0,N) e (N,0) estados absorventes e o restante estados transientes da cadeia [1]. Da teoria das cadeias de Markov, após tempo

<sup>&</sup>lt;sup>1</sup>Departamento de Ciências Exatas, UFLA, Lavras, MG

<sup>&</sup>lt;sup>2</sup>Departamento de Matemática, UFMG, Belo Horizonte, MG

<sup>&</sup>lt;sup>1</sup>eliza.ferreira@dex.ufla.br

<sup>&</sup>lt;sup>2</sup>aneves@mat.ufmg.br

suficiente, a população será constituída por todos os indivíduos de um mesmo tipo. Este fenômeno é conhecido como fixação.

## A Probabilidade de Fixação

A probabilidade  $\pi_{ij}$  de que ocorra fixação do tipo A, a partir da condição inicial de i indivíduos do tipo A e j do tipo B, como pode ser visto também em [2], será dada por uma média ponderada dos valores da mesma função nos 6 vizinhos mais próximos da malha triangular.

$$\pi_{ij} = \frac{1}{1 - p_i^j} \left[ p_{i+}^{j-} \pi_{i+1,j-1} + p_{i-}^{j+} \pi_{i-1,j+1} + p_{i+}^j \pi_{i+1,j} + p_{i-}^j \pi_{i-1,j} + p_{i-}^j \pi_{i+1,j} + p_{i-}^j \pi_$$

onde os pesos  $p_{i\pm}^{j\pm}$  são dados por funções conhecidas. Os valores de  $\pi_{ij}$  nos pontos da fronteira do triângulo são conhecidos. Os valores dos  $\pi_{ij}$  nos pontos da malha no interior do triângulo são obtidos pela resolução de um sistema de equações lineares com (N-1)(N-2)/2 incógnitas.

Pode-se provar que o sistema linear (6.23), que define as probabilidades de fixação dada uma condição inicial, tem solução única.

#### **Resultados**

Como uma contribuição ao estudo das probabilidades de fixação do processo de Moran para três estratégias, estudamos o caso mais simples onde, apesar de as aptidões serem dependentes da frequência, consideraremos que os indivíduos de tipo A são mais aptos que os dos outros dois tipos quaisquer que sejam as frequências desses tipos. Exibiremos nesse caso uma cota para  $\pi_{ij}$ . Dessa cota resulta que, para qualquer par  $(x,y) \in R^2$ , x > 0, y > 0, x + y < 1, a probabilidade de fixação dos indivíduos do tipo A no ponto da malha triangular mais próximo do ponto correspondente a (x,y) tende a 1 quando  $N \to \infty$ . Esse resultado será provado usando a técnica de acoplamento de cadeias de Markov. Mais especificamente, construiremos uma segunda cadeia de Markov em que a probabilidade de fixação  $\pi_{ij}^{(2)}$  seja explicitamente calculável e, tal que, quando as duas cadeias são realizadas simultaneamente, toda vez que houver fixação de A na segunda cadeia,

haverá fixação de A na primeira. Daí, a cota inferior  $\pi_{ij} \geq \pi_{ij}^{(2)}$  da qual conseguimos provar o resultado desejado.

Este trabalho tem como motivação biológica enriquecer modelos mais simples, tornando-os mais realísticos. Ainda nesta linha, os resultados obtidos neste trabalho podem ser muito úteis para estudar estocasticamente a evolução da cooperação com três estratégias.

### Referências

- [1] L. J. S. Allen. An introduction to stochastic processes with applications to biology. Chapman & Hall/CRC, Boca Raton, FL, 2011.
- [2] J. Wang, F. Fu, L. Wang, and G. Xie. Evolutionary game dynamics with three strategies in finite populations. *arXiv* preprint physics/0701315, 2007.

